



انجمن علوم و تکنولوژی سطح ایران

چهاردهمین سمینار ملی مهندسی سطح

پژوهشگاه مواد و انرژی

۱۳۹۳ و ۳۰ مهرماه

بررسی ریز ساختاری پوشش آلومیناید نفوذی اصلاح شده با نانو ذرات سیلیسیوم روی سوپر آلیاژ پایه نیکل

علیرضا تموری^۱، مرتضی علیزاده^۲

^۱. دانشگاه صنعتی شیراز(دانشجوی کارشناسی ارشد)

^۲. دانشگاه صنعتی شیراز (استادیار)

چکیده

در این تحقیق نخست پوشش های نانو کامپوزیتی نیکل-سیلیسیوم با ضخامت ۲۵ میکرون با مقادیر ۱۰ و ۳۰ گرم در لیتر به روش آبکاری الکتریکی با جریان مستقیم روی سوپر آلیاژ پایه نیکل اعمال شد. پس از فرآیند آبکاری نمونه های پوشش داده شده تحت فرآیند آلومینایزینگ اکتیویته بالا دردمای ۱۱۰۰ درجه سانتی گراد به روش سمنتاسیون بسته ای قرار گرفتند. مطالعات ریز ساختاری و ترکیب شیمیایی نمونه ها توسط میکروسکوپ الکترونی روبشی SEM مجهر به EDS صورت گفت. نتایج نشان داد که با این روش می توان مقدار سیلیسیوم موجود در پوشش را به بیش از یک درصد وزنی رساند. حضور نانو ذرات سیلیسیوم در پوشش مورفولوژی پوشش را تغییر داد. علاوه بر این آنالیز ترکیب شیمیایی بعد از فرآیند آلومینایزینگ نشان داد که درصد نانو ذرات سیلیسیوم در پوشش، با افزایش میزان نانو ذرات در حمام افزایش می یابد.

واژه های کلیدی: پوشش نانو کامپوزیتی؛ پوشش آلومینایدی؛ سوپر آلیاژ پایه نیکل؛ سیلیسیوم

^۱. alireza_tomas@yahoo.com

مقدمه

امروزه پوشش های آلمیناید نفوذی جایگاه ویژه ای در صنایع دما بالا به خصوص قطعات داغ توربین های گازی پیدا کرده اند. این نوع پوشش ها غالبا روی سوپرآلیاژ های پایه نیکل اعمال شده و مقاومت به خوردگی و اکسیداسیون خوبی را از خود نشان می دهند [۱]. سوپرآلیاژ های پایه نیکل به دلیل دارا بودن خواص مکانیکی مناسب از جمله استحکام و نقطه ذوب بالا عملکرد خوبی در دماهای بالا دارند [۱]. از جمله کاربردهای مهم آن ها می توان به تولید پره های ثابت و متحرک توربین های گازی و موتور های جت اشاره کرد. علی رغم خواص خوب این نوع سوپرآلیاژ ها در صورتی که بدون پوشش در معرض محیط کاری توربین ها قرار گیرند دچار اکسیداسیون و خوردگی داغ شده و تخریب می شوند. بنابراین پوشش دهی قطعات به منظور جلوگیری و کاهش این نوع تهدیدات حائز اهمیت می باشد [۲]. پوشش های آلمیناید نفوذی، سد حرارتی و روکشی از پوشش های مطرح دمای بالا می باشند [۳]. پوشش آلمیناید نفوذی برای نخستین بار در سال ۱۹۵۷ روی پره های چرخان توربین گازی سوپرآلیاژ پایه کبالت اعمال شد [۴]. آلمینایزینگ به روش های سماتیسیون بسته ای، سماتیسیون دوغابی، رسوب دهی شیمیایی از فاز بخار و فاز گازی انجام می شود که از این میان، روش سنتی سماتیسیون بسته ای به دلیل سادگی و قیمت ارزان و راندمان بالای تولید جایگاه خاصی در صنایع پیدا کرده است. در این فرآیند نمونه ها در یک ریتورت (محفظه فولادی درپوش دار) آب بندی شده قرار گرفته و برای جلوگیری از اکسیداسیون تحت گاز خنثی تا دمای مورد نظر حرارت داده می شوند. ضخامت و نوع پوشش را مقدار پودر آلمینیوم موجود در ریتورت، دما و زمان فرآیند مشخص می کند [۵].

پوشش های آلمینایدی بر اساس ریزساختار به دو دسته اکتیویته بالا و اکتیویته پایین تقسیم می شوند. در صورتی که مقدار آلمینیوم در منبع آن بیش از ۶۰ درصد اتمی باشد، روش به عنوان آلمینیوم دهی اکتیویته بالا شناخته می شود در غیر اینصورت آلمینیوم دهی با اکتیویته پایین می باشد [۶]. مکانیزم افزایش مقاومت به خوردگی و اکسیداسیون پوشش های نفوذی آلمینایدی تشکیل پوسته اکسیدی محافظ Al_2O_3 می باشد [۷]. یکی از راه های بهبود خوردگی داغ پوشش های آلمینایدی اعمالی برسوپرآلیاژ های پایه نیکل استفاده از عناصر اصلاح گر همچون سیلیسیوم، کروم و پلاتین می باشد [۸]. سیلیسیوم به چسبندگی و تشکیل پوسته های اکسیدی آلمینا کمک کرده و به دلیل ایجاد پوسته اکسیدی غیرقابل حل در محیط های خورنده مقاومت به خوردگی را افزایش می دهد [۸]. در تحقیقات گذشته توائسته اند عنصر سیلیسیوم رابه روش دوغابی به صورت تشکیل آلیاژ Al-Si یا روش سماتیسیون پودری و قرار دادن در ریتورت به همراه پودر آلمینیوم در پوشش آلمینایدی نفوذ دهنده [۹]. یکی از روش های نشاندن عنصر سیلیسیوم روی سطح ایجاد پوشش کامپوزیتی توسط روش رسوب دهی الکتریکی می باشد. تولید پوشش های کامپوزیتی زمینه فلزی توسط روش رسوب دهی الکتریکی اولین بار در سال ۱۹۲۸ و در خصوص پوشش های گرافیت - مس مطرح شده است [۱۰]. در این روش با اضافه کردن ذرات تقویت کننده به حمام آبکاری و با کنترل شرایط فرآیند آبکاری، پوشش کامپوزیتی ایجاد می شود. مکانیزم ایجاد پوشش کامپوزیتی بدین نحو است که طی فرآیند رسوب دهی الکتریکی کاتیون های موجود در

الکتروولیت روی ذرات پراکنده شده جذب می شوند و آن ها را به سمت کاتد حرکت می دهند. سپس ذرات تقویت کننده که به وسیله نیروی الکترواستاتیک پیوند ضعیفی در سطح فلز پایه ایجاد کرده اند، در لایه نیکل در حال رشد گیر کرده و پوشش کامپوزیتی تشکیل می شود [11]. قرار گرفتن ذرات تقویت کننده در زمینه نیکل باعث افزایش سایت های جوانه زنی نیکل، ریز دانه شدن آن و اصلاح جهت گیری ترجیحی دانه ها می شود [12 و 13]. هدف از تحقیق حاضر ایجاد پوشش کامپوزیتی اولیه نیکل - سیلیسیوم به عنوان منبعی برای تامین عنصر سیلیسیوم در فرآیند آلومینایزینگ، توسط روش رسوب دهی الکتریکی روی سوپرآلیاژ پایه نیکل می باشد. از اهداف دیگر این تحقیق انجام فرآیند آلومینایزینگ روی سوپرآلیاژ پوشش داده شده و بررسی خواص ریز ساختاری پوشش می باشد.

مواد و روش تحقیق

در این تحقیق از سوپرآلیاژ پایه نیکل با ترکیب نشان داده شده در جدول ۱ به عنوان زیر لایه استفاده شد. نمونه ها توسط دستگاه برش (وایرکات) به صورت مکعب مستطیل و در ابعاد $25 \times 2 \times 10$ میلی متر برش داده شدند. قبل از عملیات آبکاری کامپوزیتی سطح نمونه ها تا سمباده ۸۰۰ پولیش گردید تا آثار برش از بین رفته و سطح صیقل یابد. پس از آن برای از بین رفتن چربی ها و آلدگی های سطحی از محلول استون و برای فعال سازی سطح و حذف کردن لایه روین سطحی احتمالی از محلول هیدروکلریک اسید ۵ مولار استفاده شد. پودر سیلیسیوم مورد استفاده با خلوص ۹۹.۹۹٪ و با اندازه متوسط ۳۵ نانو متر به حمام آبکاری اضافه شد. شکل ۱ آنالیز اندازه ذرات پودر سیلیسیوم استفاده شده را نشان می دهد. پوشش های نانو کامپوزیتی نیکل- سیلیسیوم با مقادیر ۱۰ و ۳۰ گرم در لیتر نانو ذرات سیلسیوم در حمام وات بر سطح نمونه ها اعمال شد. جدول ۲ ترکیب حمام وات مورد استفاده و شرایط رسوب دهی الکتریکی را نشان می دهد. نمونه های پوشش داده شده با آب مقطر شسته شده و خشک گردیدند و در ریتورت حاوی مخلوط پودری قرار داده شدند. مخلوط پودری ریتورت ها شامل $\text{Al}_{1.5}\text{wt}.\text{Cl}, \text{NH}_4\text{Cl}_{1.5}\text{wt}.$ و $\text{Al}_2\text{O}_3_{97.5}\text{wt}.$ بود. پس از پر کردن ریتورت ها با مخلوط پودری و قرار دادن نمونه ها در بین آن ها، درپوش ها توسط پیچ و مهره محکم شده و درزهای باقی مانده با ملات نسوز آب بندی شدند. ریتورت ها پس از خشک شدن به کوره منتقل شدند. فرآیند آلومینایزینگ با اکتیویته بالا در دمای ۱۱۰۰ درجه سانتی گراد و به مدت ۶ ساعت انجام شد. ریزساختار نمونه های پوشش داده شده و نیز آلومینایز شده به وسیله میکروسکوپ الکترونی روبشی (VEGA\TESCAN-XMU) مجهز به EDS مورد ارزیابی قرار گرفت.

نتایج و بحث

شکل ۲ مورفولوژی پوشش نیکل خالص و پوشش های کامپوزیتی تولیدی در درصد های ۱۰ و ۳۰ گرم در لیتر را نشان می دهد. همان طور که دیده می شود مورفولوژی پوشش نیکل بعد از اضافه شدن نانو ذرات سیلیسیوم

تغییر قابل توجهی یافته است و از یک سطح یکنواخت به یک سطح ناهموار تبدیل شده است. پوشش کامپوزیتی دارای مورفولوژی دانه های بیرون آمده از سطح بوده که روی شکل با علامت فلش نشان داده شده است. عامل رشد دانه های از سطح بیرون آمده حضور نانو ذرات سیلیسیوم در سطح پوشش و تغییر در جهت گیری ترجیحی بلورهای نیکل می باشد [۱۴]. مقایسه شکل های ب وج نشان می دهد که میزان دانه های بیرون آمده از سطح در نمونه ۳۰ گرم در لیتر بیشتر است. دلیل این امر حضور بیشتر نانو ذرات سیلیسیوم روی سطح نمونه ۳۰ گرم در لیتر می باشد. از آن جایی که روی سطح نمونه ۳۰ گرم در لیتر نانو ذرات بیشتری قرار گرفته اند رشد ترجیحی دانه ها نسبت به نیکل خالص و نمونه ۱۰ گرم در لیتر بیشتر می باشد.

شکل ۳ ریز ساختار پوشش آلومیناید نفوذی اصلاح شده با نانو ذرات سیلیسیوم را نشان می دهد که مقدار پودر سیلیسیوم مورد استفاده در حمام ۱۰ گرم در لیتر است. همان طور که در شکل مشاهده می شود ریز ساختار پوشش حاصل شامل ۴ منطقه مجزا می باشد. ریزساختار ایجاد شده شبیه پوشش های آلومینایدی با نفوذ درون گرا می باشد. منطقه بیرونی پوشش (منطقه A) منطقه ای خالی از رسوب می باشد که در انتهای آن حفره هایی ایجاد شده است. دلیل تشکیل حفره ها احتمالاً نفوذ به سمت داخل نیکل در این منطقه در هنگام عملیات آنیل می باشد. جدول ۳ آنالیز شیمیایی لایه بیرونی (منطقه A) پوشش شکل ۳ را نشان می دهد. همان طور که در شکل دیده می شود ترکیب حاصل بسیار نزدیک به ترکیب شیمیایی NiAl می باشد. در فرآیندهای آلومینیوم دهی تک مرحله ای با اکتیویته بالا ابتدا نفوذ غالب درونگرای آلومینیوم صورت می گیرد و طی آن یک لایه Ni₂Al₃ غنی از آلومینیوم (هاپر استوکیومتری) تشکیل می گردد [۶]. در حقیقت منطقه A در اثر نفوذ درون گرای آلومینیوم به پوشش نیکل - سیلیسیوم تشکیل شده است. منطقه B منطقه ای است حاوی رسوبات سفید رنگ که این رسوبات ترکیباتی از عناصر زیر لایه مثل کرم، تنگستن، کبالت و مولیبدن می باشند و به دلیل عدم حلالیت کافی این عناصر در فاز NiAl تشکیل می شوند [۶]. بلا فاصله بعد از رسوبات سفید رنگ منطقه ای تقریباً خالی از رسوب شبیه به منطقه A دیده می شود. جدول ۴ آنالیز شیمیایی منطقه C را نشان می دهد. ترکیب این منطقه نیز نزدیک به ترکیب NiAl می باشد. گزارش شده است که این لایه به دلیل نفوذ به سمت بیرون نیکل از زیر لایه تشکیل می گردد [۶]. منطقه D منطقه ای است که به نام منطقه نفوذ درهم یا تداخل نفوذی شناخته می شود که در آن رسوبات ستونی شکل در فصل مشترک پوشش و زیر لایه تشکیل می شود. معمولاً در منطقه تداخل نفوذی در اثر نفوذ به بیرون نیکل حفره های کرکنده تشکیل می شوند [۶]. جدول ۵ آنالیز شیمیایی این منطقه را نشان می دهد. همان طور که در شکل ۳ دیده می شود میزان حفره های ایجاد شده در لایه تداخل نفوذی بسیار کم است که دلیل آن حضور پوشش نیکل - سیلیسیوم ایجاد شده روی سطح زیر لایه می باشد. در حقیقت هنگام عملیات آنیل، پوشش نیکل - سیلیسیوم موجود در سطح به عنوان منبعی جهت تامین نیکل محسوب شده لذا نیکل کمتری از زیر لایه به پوشش نفوذ می کند لذا میزان حفره ها کاهش می یابد [۹]. شکل ۴ تغییرات درصد وزنی عنصر سیلیسیوم بر حسب فاصله از سطح پوشش نمونه های ۱۰ و ۳۰ گرم در لیتر بعد از عملیات آلومینایزینگ را نشان می دهد. درصد عنصر سیلیسیوم در سطح نمونه ۳۰ گرم در لیتر از نمونه ۱۰

گرم در لیتر بیشتر می باشد و این موضوع تایید کننده تفاوت مورفولوژی سطح این دو پوشش که در شکل ۲ نشان داده شد می باشد. از شکل ۴ مشاهده می شود که با افزایش فاصله از سطح برای هر دو پوشش درصد سیلیسیوم کاهش می یابد. مقدار سیلیسیوم در مرز پوشش و زیر لایه در نمونه ۱۰ گرم در لیتر حدود صفر می باشد در حالی که این مقدار در نمونه ۳۰ گرم در لیتر از صفر بیشتر می باشد. بنابراین با افزایش درصد پودر سیلیسیوم در حمام می توان مقدار سیلیسیومی که به داخل پوشش نفوذ می کند را افزایش داد.

نتیجه گیری.

- ۱) حضور نانو ذرات سیلیسیوم در پوشش باعث تغییر در مورفولوژی پوشش نیکل خالص می گردد.
- ۲) با افزایش درصد نانو ذرات سیلیسیوم در حمام رسوب دهی میزان سیلیسیوم در پوشش افزایش می یابد.
- ۳) با اعمال فرآیند آلمینایزینگ تک مرحله ای اکتیویته بالا در دمای ۱۱۰۰ درجه سانتی گراد به مدت شش ساعت، در نمونه ۱۰ گرم در لیتر نانو ذرات سیلیسیوم لایه محافظ NiAl با ضخامت ۶۰ میکرون روی سوپرآلیاژ تشکیل می گردد
- ۴) با افزایش فاصله از سطح پوشش به سمت زیر لایه درصد عنصر سیلیسیوم نفوذ کرده در فرآیند آلمینایزینگ کاهش می یابد.
- ۵) در نمونه ۳۰ گرم در لیتر بعد از عملیات آلمینایزینگ عنصر سیلیسیوم تا فصل مشترک زیر لایه و پوشش هم نفوذ می کند.

مراجع

۱. K. Shirvani, M.Saremi, A. Nishikata and T. Tsuru , "The role of silicon on microstructure and high temperature performance of aluminate coating on superalloy in-vac", Materials transactions, ۴۳, ۲۰۰۲, ۲۶۲۲-۲۶۲۸.
۲. R. C. Reed, The superalloys fundamental and applications, Cambridge university press, Cambridge, ۲۰۰۸.
۳. T. Kircher, B. G. McMordie and A. McCarter, "Performance of silicon-modified aluminate coating in high temperature hot corrosion test conditions", Surface and coatings technology, ۶۸, ۱۹۹۴, ۳۲-۳۷.
۴. S. Bose, High Temperature Coatings, Butterworth-Heinemann, Elsevier Inc, ۲۰۰۷.
۵. R. Bianco and R. A. Rapp, "Pack cementation aluminate coatings on superalloys: codeposition of Cr and reactive elements", Journal of the electrochemical society, ۱۴۰, ۱۹۹۳, ۱۱۸۱-۱۱۹۱.
۶. D. K. Das, S. V. Joshi and V. Singh, "Evolution of aluminate coating microstructure on nickel-base cast superalloy CM-247 in a single-step high-activity

- aluminizing process", Journal of metallurgical and materials transactions, ۲۹, ۱۹۹۸, ۲۱۷۳-۲۱۸۸.
- v. J. R. Nicholls, "Designing oxidation resistance coatings an overview", Journal of metals, ۵۲, ۲۰۰۰, ۲۸-۳۳.
۸. S. Rastegari, Z. Salehpour, A. Bakhshi and H. Arabi, "Formation mechanism of silicon modified aluminide coating on a ni-base superalloy", International journal of engineering science, ۱۹, ۲۰۰۸, ۳۹-۴۴.
۹. ح. جعفریان، ع. صبور روح اقدم، ت. شهرابی و س. بهروز قائمی، "تأثیر پوشش اولیه Ni بر ریز ساختار پوشش آلمینایدی تشکیل شده روی سوپرآلیاژ IN738LC"، یازدهمین کنگره سالانه انجمن مهندسین متالورژی ایران، شرکت سهامی ذوب آهن اصفهان، ۱ و ۲ آبان ۱۳۸۶.
۱۰. S. A. Calbeto, Nickel matrix micro/nano sic composite electrodeposition, Escola tecnica superior, Baercelona, ۲۰۱۱.
۱۱. C. T. J. Low, R. G. A. Wills and F. C. Walsh, "Electrodeposition of composite coatings containing nanoparticles in a metal deposit", Surface and coatings technology, ۲۰۱, ۲۰۰۶, ۳۷۱-۳۸۳.
۱۲. Q. Feng, T. Li, H. Yue, K. Qi, F. Bai and J. Jin, "Preparation and characterization of nickel nano-al_xo_y composite coatings by sediment co-deposite", Applied surface science, ۲۵۴, ۲۰۰۸, ۲۲۶۲-۲۲۶۸.
۱۳. B. Szczygiel and M. kolodziej, "Composite ni/al_xo_y coatings and their corrosion resistance", Electrochimia acta, ۵۰, ۲۰۰۵, ۴۱۸۸-۴۱۹۵.
۱۴. M. Alizadeh, M. Mirak, E. Salahinejad, M. Ghaffari, R. Amini, A. Roosta, "Structural characterization of electro-codeposited ni-al_xo_y-sic nanocomposite coatings", Journal of alloys and compounds, ۵۱۱, ۲۰۱۴, ۱۹۱-۱۹۹.

پانزدهمین سمینار ملی مهندسی سطح

جدول ۱: ترکیب شیمیایی سوپرآلیاژ بر حسب درصد اتمی.

Element	Ni	Cr	Co	Ti	Mo	W	Al	C	Zr	B
At.%	پایه	۱۴	۹.۵	۵	۴	۴	۳	۰.۱۷	۰.۰۳	۰.۰۱۵

جدول ۲: ترکیب انتخابی حمام و شرایط آبکاری.

پارامترهای رسوب دهی		ترکیب حمام آبکاری
۷	دانسیته جریان (آمپر بر دسی متر مربع)	ماده شیمیایی مورد استفاده
۴	پی اچ	کلرید نیکل
--	سرعت بهم زدن (دور بر دقیقه)	سولفات نیکل
۵۰	دما (درجه سانتی گراد)	سدیم دودسیل سولفات
۱۰	زمان آبکاری (دقیقه)	اسید بوریک
		نانوذرات سیلیسیوم

جدول ۳: ترکیب شیمیایی منطقه A

Element	Wt.%	At.%
Al	۲۹.۸۵	۴۷.۹۴
Si	۰.۲۷	۰.۴۲
Cr	۰.۱۶	۰.۱۴
Fe	۰.۶۵	۰.۵۰
Co	۰.۱۴	۰.۱۰
Ni	۶۸.۹۳	۵۰.۹۰

بررسی ریزساختاری پوشش آلمیناید نفوذی....

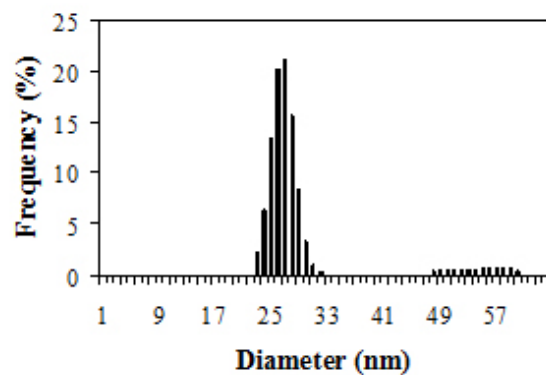
جدول ۴: ترکیب شیمیایی منطقه C.

Element	Wt.%	At.%
Al	۲۱.۴۰	۳۷.۳۰
Si	۰.۰۰	۰.۰۰
Cr	۴.۶۷	۴.۲۲
Fe	۰.۰۰	۰.۰۰
Co	۸.۳۳	۶.۶۵
Ni	۶۳.۸۸	۵۱.۱۸
Mo	۰.۸۶	۰.۴۲
W	۰.۸۶	۰.۲۲

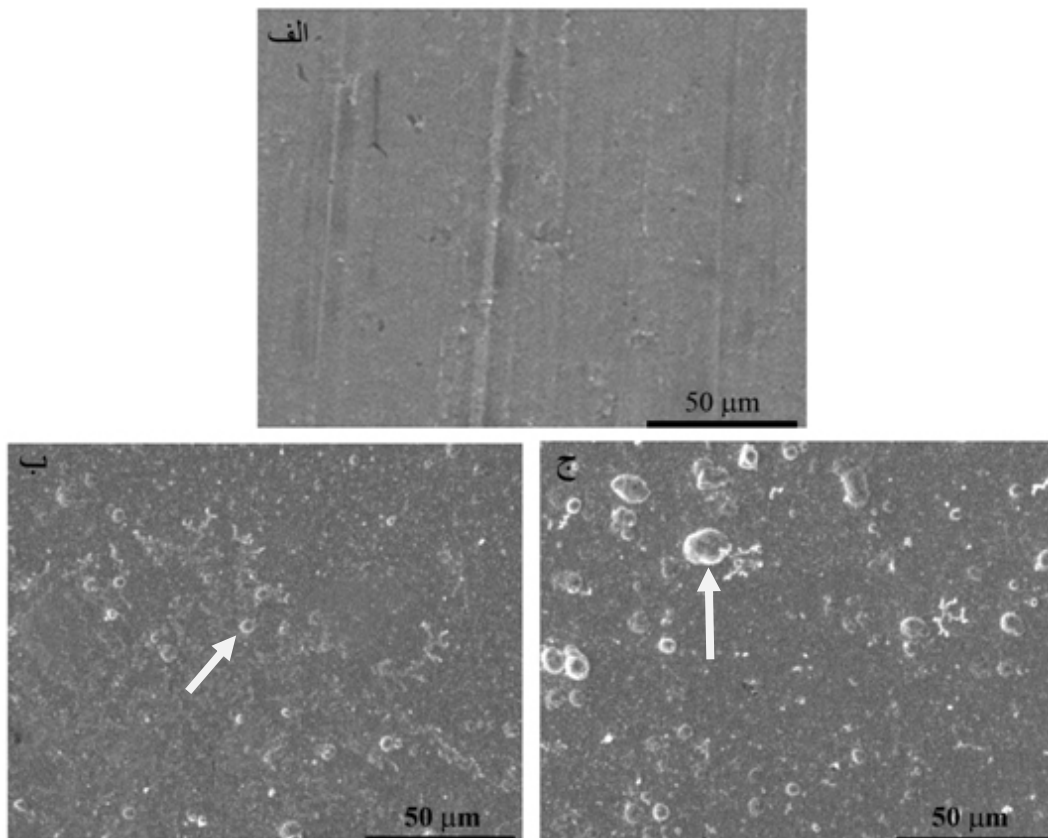
جدول ۵: ترکیب شیمیایی منطقه D.

Element	Wt.%	At.%
Al	۱۹.۶۶	۹.۶۲
Cr	۱۸.۵۹	۱۷.۵۳
Co	۷.۳۸	۷.۸۹
Ni	۳۲.۱۲	۳۴.۲۱
Mo	۶.۶۲	۱۱.۵۴
W	۲.۳۶	۷.۸۹
Ti	۱۲.۷۱	۱۱.۰۴

پانزدهمین سمینار ملی مهندسی سطح

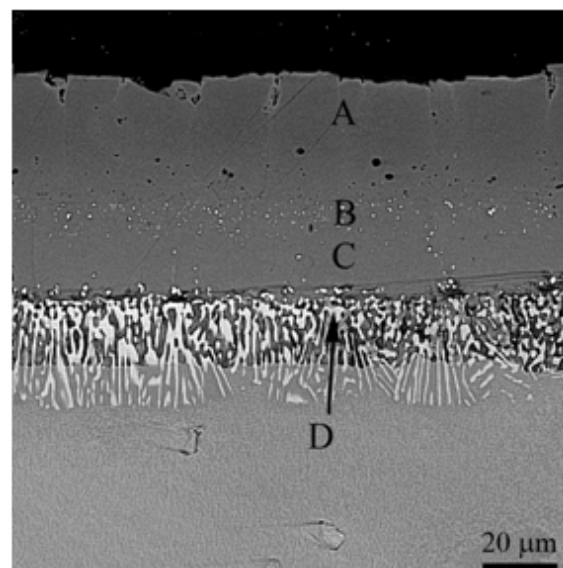


شکل ۱: آنالیز اندازه ذرات پودر سیلیسیوم استفاده شده.

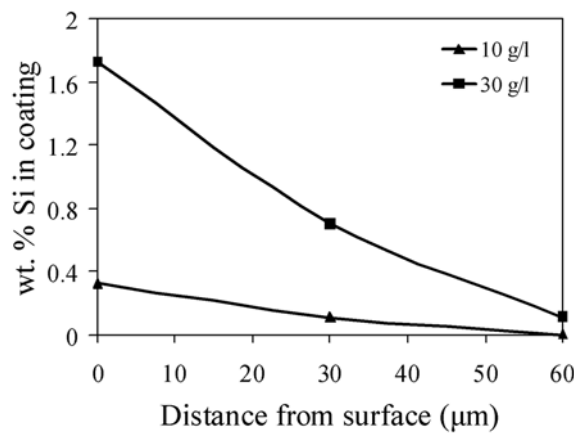


شکل ۲: تصویر میکروسکوپی روبشی پوشش نیکل خالص و پوشش های کامپوزیتی تولیدی در غلظت های مختلف نانو ذرات سیلیسیوم در حمام آبکاری. (الف) نیکل خالص، (ب) ۱۰ گرم در لیتر، (ج) ۲۰ گرم در لیتر.

بررسی ریزساختاری پوشش آلمیناید نفوذی....



شکل ۳: تصویر میکروسکوپی الکترونی روبشی پوشش آلمینایدی اصلاح شده با نانوذرات سیلیسیوم (۱۰ گرم در لیتر).



شکل ۴: تغییرات درصد وزنی عنصر سیلیسیوم بر حسب فاصله از سطح پوشش.